

مطالعه تنوع ژنتیکی ماهی آزاد (*Salmo trutta caspius* Kessler, 1877) در رودخانه‌های چشمه کیله و کرگانرود با استفاده از نشانگرهای ریزماهواره

- سلطنت نجارلشگری*: گروه شیلات، دانشگاه آزاد اسلامی واحد علوم و تحقیقات تهران، صندوق پستی: ۷۷۵-۱۴۵۱۵
- سهراب رضوانی گیلکلائی: موسسه تحقیقات علوم شیلاتی کشور، تهران، صندوق پستی: ۶۱۱۶-۱۴۵۰۵
- ابوالقاسم کمالی: گروه شیلات، دانشگاه آزاد اسلامی واحد علوم و تحقیقات تهران، صندوق پستی: ۷۷۵-۱۴۵۱۵
- مهدی سلطانی: گروه شیلات، دانشگاه آزاد اسلامی واحد علوم و تحقیقات تهران، صندوق پستی: ۷۷۵-۱۴۵۱۵

تاریخ دریافت: تیر ۱۳۹۲ تاریخ پذیرش: مرداد ۱۳۹۲

چکیده

ماهی آزاد دریای خزر (*Salmo trutta caspius*) یکی از ۹ زیر گونه قزل‌آلای قهوه‌ای در جهان و از گونه‌های مهم اقتصادی و در معرض خطر انقراض دریای خزر می‌باشد. در این مطالعه تنوع ژنتیکی ماهی آزاد دریای خزر با استفاده از روش ریزماهواره مورد بررسی قرار گرفت. بدین منظور ۲۲۵ عدد مولد ماهی آزاد از رودخانه‌های چشمه کیله و کرگانرود جمع‌آوری و DNA ژنومی با استفاده از روش استات آمونیوم استخراج شد. کیفیت و کمیت DNA های استخراج شده با استفاده از روش‌های الکتروفورز افقی ژل آکارز ۱٪ و اسپکتروفتومتری ارزیابی شد. واکنش زنجیره‌ای پلیمراز با استفاده از ۱۶ جفت آغازگر ریزماهواره انجام و محصولات تکثیر شده با استفاده از ژل پلی اکریل آمید ۶٪ الکتروفورز و با روش نیترات نقره رنگ‌آمیزی شدند. باندهای DNA با نرم افزار Photo-Capt امتیازدهی شدند و پنج جایگاه چندشکلی تولید شد. میانگین هتروزایگوستی مشاهده شده و مورد انتظار بهترتب 0.9 ± 0.04 و 0.10 ± 0.06 محاسبه شد و بیشتر جایگاه‌ها خارج از تعادل هارددی-وانبرگ بودند ($P < 0.001$). نتایج آنالیز واریانس مولکولی نشان داد که اختلاف تنوع ژنتیکی بین و درون جمعیت‌ها معنی‌دار است ($P < 0.01$). بنابراین بیش از یک جمعیت در رودخانه‌های مورد مطالعه وجود دارد که باید در بازسازی ذخایر مدنظر قرار گیرد.

کلمات کلیدی: *Salmo trutta caspius*، تنوع ژنتیکی، ریزماهواره



مقدمه

(*fontinalis*) دریاچه‌های حوضه آبریز خلیج هند با استفاده از روش ریزماهواره، سطح بالایی از هتروزایگوستی (۰/۲۷-۰/۶) مشاهده گردید و اعلام شد که علی‌رغم عدم وجود مواد فیزیکی برای مهاجرت بین دریاچه‌ها، هر دریاچه جمعیت تولیدمثی مجزایی دارد (۴). در بررسی ساختار جمعیت دو نوع دریاچه‌ای و رودخانه‌ای *Oncorhynchus nerka* در رودخانه‌های شمال بریتیش کلمبیا با استفاده از ۱۴ جفت آغازگر ریزماهواره، میانگین آلل‌های مشاهده شده و هتروزایگوستی قابل انتظار در هر جایگاه در رودخانه به ترتیب ۱۲/۷ و ۰/۷۷ و در دریاچه به ترتیب ۱۰/۵ و ۰/۶۵ محاسبه شد (۷). در بررسی توزیع جمعیت‌های غیریومی قزل آلا در اسلوونی و سایر ورودی‌ها با جمعیت‌های بومی قزل آلا در دریاچه آدریاتیک و دریاچه دانوب با استفاده از ۵ جفت آغازگر ریزماهواره، دامنه آللی ۱/۲-۸/۲، دامنه هتروزایگوستی مشاهده شده ۰/۱۲-۰/۰ و دامنه هتروزایگوستی قابل انتظار ۰/۰۶-۰/۷۲ محاسبه گردید (۹). از آن جایی که تفکیک جمعیت‌ها و شناسایی ذخایر ژنتیکی براساس داده‌های ریخت‌شناسی از ضریب اطمینان کمتری نسبت به داده‌های مولکولی برخوردار است و از طرف دیگر چون تفاوت‌های مورفولوژی و فیزیولوژی از ذخایر ژئومی هر موجود ناشی می‌شود، به همین دلیل بررسی تنوع ژنتیکی در بین جمعیت‌ها و نیز افراد داخل جمعیت به دلیل تغییرات شرایط محیطی ضروری است (۳۰). بنابراین با توجه به لزوم شناخت دقیق ماهی آزاد دریای خزر به منظور اعمال مدیریت صحیح آبزیپروری و نبود اطلاعات کافی درباره وضعیت ژنتیکی جمعیت‌های موجود سعی شده که با انجام این مطالعه تنوع ژنتیکی این ماهی در رودخانه‌های چشمکه کیله و کرگانرود با استفاده از نشانگرهای ریزماهواره مورد بررسی قرار گیرد.

مواد و روش‌ها

در این بررسی، حدود ۵-۳ گرم از بافت نرم و تازه انتهای باله ۲۲۵ عدد مولد ماده و نر ماهی آزاد دریای خزر صید شده با استفاده از سد شیل (کلهام)، تورهای پره و سالیک و دام از رودخانه چشمکه کیله (۱۷۸ نمونه) در استان مازندران و رودخانه کرگانرود (۴۷ نمونه) در استان گیلان در فصول پاییز و زمستان سال ۱۳۹۰ توسط قیچی جدا و بعد از تشییت در الکل اتانول ۹۶° به آزمایشگاه ژنتیک پژوهشکده اکولوژی آبیان دریای خزر شهرستان ساری منتقل گردید. DNA ژئومی به روش استرات آمونیوم استخراج (۲۴) و کمیت و کیفیت DNA استخراج شده با استفاده از روش‌های اسپکتروفوتومتری و الکتروفورز افقی ژل آگارز (۳۷) تعیین شد. برنامه دستگاه

ماهی آزاد دریای خزر یکی از ماهیان با ارزش دریای خزر و دنیا محسوب شده و در سال‌های اخیر عوامل متعددی از جمله صید بی‌رویه و غیرمجاز، آلودگی دریاها و منابع آبی، از بین رفتن زیستگاهها و مناطق طبیعی تخریبی و... باعث تهدید جمعیت و در مواردی کاهش موقوفیت در بازسازی ذخایر این گونه ارزشمند از طریق تکثیر مصنوعی شده است. این ماهی براساس معیارهای IUCN در لیست سرخ و در طبقه در معرض خطر انقرض قرار دارد (۸). بنابراین بررسی گوناگونی و تنوع ژنتیکی ماهی آزاد دریای خزر به عنوان یک گونه به شدت در معرض خطر انقرض در حوضه جنوبی دریای خزر ضروری می‌باشد (۲۱). سازمان شیلات ایران با احداث مرکز بازسازی ذخایر آزاد ماهیان شهید دکتر باهنر کلاردشت در سال ۱۳۶۰ و تولید سالانه صدها هزار بچه‌ماهی و رهاسازی آن‌ها به رودخانه‌های چشمکه کیله، سرآبرود و چالوس با هدف حفظ و افزایش ذخایر ماهی آزاد دریای خزر نقش مهمی در این راستا ایفا می‌کند (۱). شناسایی گونه‌ها، زیر گونه‌ها و جمعیت‌های آبزیان از اهمیت زیادی برخوردار است زیرا علاوه بر مدیریت صحیح و بهره‌برداری مناسب، موجب اجرای برنامه‌های اصولی جهت حفاظت از گونه‌ها یا جمعیت‌های پرازش، بازسازی ذخایر و هم‌چنین ایجاد تنوع در تکثیر و پرورش خواهد شد. با توجه به حساسیت بالای صفات مورفو‌متیریک و مرسیتیک به تغییرات محیطی و اثرات منفی دستکاری در نشانه‌گذاری بر سلامت و بقای ماهیان و از طرفی محدود بودن تفسیر داده‌های نشانه‌گذاری به زمان جمع‌آوری آن‌ها (۴)، پیشرفت علم استفاده از نشانگرهای مولکولی مانند RAPD، AFLP، Allozyme، mtDNA و Microsatellite را که متأثر از فاکتورهای محیطی نمی‌باشد جهت شناسایی ساختار ژنتیکی ذخایر امکان‌پذیر کرده است (۲۸). بی‌توجهی به اصول صحیح ژنتیکی، تکاملی و اکولوژیک در مخلوط نمودن هدفمند ماهیان مراکز تکثیر و ماهیانی که به طور طبیعی تولیدمثیل می‌کنند می‌تواند پیامدهای معکوسی را برای ماهیان دارای تولیدمثیل طبیعی به همراه آورده و در نهایت برنامه‌های بازسازی ذخایر را مختل و استفاده پایدار از منابع مذکور را در بلندمدت با اشکال روبرو سازد (۲۶). در بررسی تنوع ژنتیکی ۳۰ نمونه بچه‌ماهی آزاد دریای خزر جمعیت منطقه تنکابن با استفاده از نشانگرهای ریزماهواره، دامنه هتروزایگوستی در هر جایگاه بین ۰/۷۷-۰/۴۱ می‌باشد (۳). در بررسی تنوع ژنتیکی ۵۰ نمونه بچه‌ماهی آزاد دریای خزر از جمعیت غرب استان مازندران با استفاده از PCR-RFLP، دامنه هتروزایگوستی بین ۰/۸-۰/۹ و دامنه تعداد آلل بین ۳-۶ عدد در هر جایگاه به دست آمد (۲). در بررسی ساختار جمعیتی قزل آلای جویباری (*Salvelinus*



انجام واکنش زنجیره‌ای پلیمراز از ۱۶ جفت آغازگر ریزماهواره (جدول ۲) استفاده گردید.

ترمال سایکلر پس از به دست آمدن غلظت بهینه مواد (جدول ۱) و بهترین دمای اتصال به نحوی تنظیم گردید تا حداقل باند اضافی را دارا بوده و باند اصلی دارای وضوح کامل باشد. برای

جدول ۱: نوع و مقدار مواد استفاده شده در واکنش زنجیره‌ای پلیمراز

ماده	غلظت مواد	مقدار برای واکنش ۲۵ میکرولیتری
DNA	۱۰-۵ نانوگرم	۰/۴
Taq DNA Polymerase	۰/۲۵ u ۱	۰/۲۵
dNTPs	۱ میلیمول	۰/۲۵
MgCl ₂	۱/۵ میلیمول	۰/۷۵
PCR Buffer	X ۱	۲/۵
Forward Primer	۱/۲ نانومتر	۱
Reverse Primer	۱/۲ نانومتر	۱
آب مقطر	*	۱۸/۷۵

* مواد فوق به وسیله آب مقطر دو بار تقطیر به حجم نهایی رسانده شد.

جدول ۲: مشخصات آغازگرهای مورد استفاده

ردیف	جایگاه	توالی آغازگر	منبع
۱	Otsg 3	F: 5'-GGACAGGAGCGTCTGCTAAATGACTG-3' R: 5'-GGATGGATTGATGAATGGGTGGG-3'	۱۹۷۰ .Ohno
۲	Otsg 13	F: 5'-GGTTCCCTCACATAGAA-3' R: 5'-GCCTAGTTAAATAAAGGTAAA-3'	۱۹۷۰ .Ohno
۳	Otsg 68	F: 5'-TATGAACTGCAGCTGTTATGTTAGT-3' R: 5'-CATGTCGGCTGCTCAATGTA-3'	۱۹۷۰ .Ohno
۴	Otsg 83	F: 5'-GGACAGGAGCGTCTGCTAAATGACTG-3' R: 5'-GGATGGATTGATGAATGGGTGGG-3'	۱۹۷۰ .Ohno
۵	Otsg 100	F: 5'-TGAACATGAGCTGTGAG-3' R: 5'-ACGGACGTGCCAGTGAG-3'	۱۹۹۸ و همکاران، Nelson
۶	Otsg 103	F: 5'-AGGCTCTGGGCTCGTG-3' R: 5'-TGATATGGTGTGATAGCTGG-3'	۱۹۹۸ و همکاران، Beacham
۷	Otsg 107	F: 5'-ACAGACCAGACCTCAACA-3' R: 5'-ATAGAGACCTGAATCGGTA-3'	۱۹۷۰ .Ohno
۸	Otsg 108	F: 5'-TCTGTTATCTTCTATT-3' R: 5'-AAGGAGAGACAGAGGG-3'	۱۹۹۹ و همکاران، Nelson
۹	Otsg 249	F: 5'-TCTCAGAGGGTAAAATCTCAGTAAG-3' R: 5'-GTACAACCCCTCTCACCTACCC-3'	۱۹۷۰ .Ohno
۱۰	Otsg 409	F: 5'-GATGCCATTGTCACCATCATT-3' R: 5'-CATTCTCCTGCCTCACAGAGTTA-3'	۱۹۷۰ .Ohno
۱۱	Otsg 432	F: 5'-TAAAAAGTAGGGGAAACACATACG-3' R: 5'-TAAAGCCCATTGAATTGAATAGAA-3'	۱۹۷۰ .Ohno
۱۲	Otsg 474	F: 5'-TTAGCTTGGACATTATCACAC-3' R: 5'-CCAGAGCAGGGACCAGAAC-3'	۱۹۷۰ .Ohno
۱۳	Strutta 12	F: 5'-AATCTCAAATCGATCAGAAG-3' R: 5'-AGCTATTTCAGACATCACC-3'	۱۹۹۹ و همکاران، Poteaux
۱۴	Strutta 58	F: 5'-AACAAATGACTTCTTGAC-3' R: 5'-AAGGACTTGAAGGACGAC-3'	۱۹۹۹ و همکاران، Poteaux
۱۵	Ssa 171	F: 5'-TTATTATCCAAGGGTCAAAA-3' R: 5'-GAGGTCGCTGGGTTACTAT-3'	۱۹۹۶ O'Reilly و همکاران،
۱۶	OmyFgt1TUF	F: 5'-AGATTACCCAGCCAGGTAG-3' R: 5'-CATAGTCTGAACAGGGACAG-3'	۱۹۹۸ و همکاران، Nelson

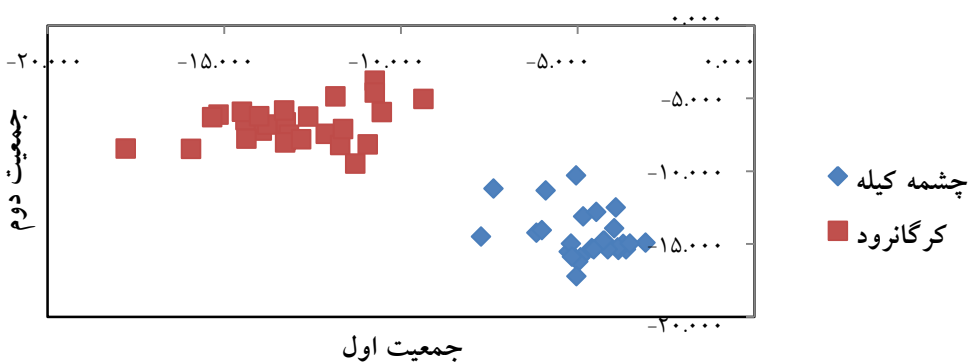


۶/۶۰±۱/۲۴ و ۴/۶۷±۰/۹۷ محسوبه شد و بیشترین تعداد آلل‌های واقعی (۵/۱/۷۵) و مؤثر (۵/۴۸±۱/۳۲) در رودخانه کرگانرود مشاهده شد. میانگین هتروزایگوستی مشاهده شده و مورد انتظار به ترتیب ۰/۰۹ و ۰/۴۷±۰/۰۹ محسوبه شد و بیشترین مقدار هتروزایگوستی مشاهده شده (۰/۱۱) و موردن انتظار (۰/۱۳) در رودخانه کرگانرود مشاهده شد. میانگین شاخص شانون ۰/۲۷ محسوبه شد و بیشترین مقدار آن (۱/۶۳±۰/۳۶) در رودخانه کرگانرود مشاهده شد. نتایج آزمون مربع کای نشان داد که در جایگاه‌های 100 Otsg و 171 Ssa رودخانه چشم کیله و 83 Otsg، 107 Otsg و 171 Ssa رودخانه کرگانرود انحراف از تعادل هارددی-وانیرگ مشاهده شد (P<۰/۰۰۱). میزان F_{ST} (شاخص تمایز ژنتیکی) و N_M (شاخص جربان ژنی) به ترتیب ۰/۰۳۲ و ۰/۰۵۳ و میزان فاصله و شباهت ژنتیکی به ترتیب ۰/۰۲۲ و ۰/۰۵۳ به دست آمد. براساس نتایج حاصل از آنالیز واریانس مولکولی میزان تنوع ژنتیکی درون جمعیت‌ها (۰/۵۸) و بین جمعیت‌ها (۰/۴۲) بود و اختلاف تنوع ژنتیکی بین درون جمعیت‌ها در رودخانه‌های مورد مطالعه معنی‌دار بود (P<۰/۰۱). نمودار سنجش ژنتیکی جفت جمعیت‌ها توانست جمعیت‌های رودخانه‌های چشم کیله و کرگانرود را به طور کامل از یکدیگر تفکیک نماید (شکل ۱).

کیفیت محصولات تکثیر شده PCR با استفاده از الکتروفورز افقی ژل آگارز ۲٪ ارزیابی و برای مشاهده آلل‌ها و تعیین اندازه آن‌ها از الکتروفورز عمودی ژل پلی اکریل آمید ۰/۶٪ (۲۹) و روش رنگ‌آمیزی نیترات نقره (۴) استفاده شد. ثبت تصاویر ژل توسط دستگاه مستندساز ژل (مدل X-Print- 1000/26MX) ساخت شرکت Vilber Lourmat فرانسه) انجام و باندهای حاصل با استفاده از نرم‌افزار Photo-Capt Ver.15.0 امتیازدهی شدند. تجزیه و تحلیل آماری داده‌ها با استفاده از نرم‌افزارهای Gene Pop Gene Ver.1.3 (۳۹)، Alex Ver.6.41 (۲۵) و Pop Ver.1.3 (۳۹) انجام پذیرفت.

نتایج

غلظت DNA در تمام نمونه‌ها ۵۰-۱۰۰ نانوگرم به دست آمد و پنج جفت از آغازگرها (Otsg 83، Otsg 100، Otsg 107، Otsg 249، Otsg 171) الگوهای باندی چندشکلی با دامنه ۱۰۸-۲۴۴ جفت باز و ۵۱ آلل تولید نمودند و بهترین درجه حرارت برای پهلوگیری آغازگرها بین ۵۵-۶۵ درجه سانتی‌گراد به دست آمد. در مجموع ۳۶ آلل اختصاصی به دست آمد و بیشترین تعداد آلل اختصاصی (۲۳) در رودخانه کرگانرود مشاهده شد. میانگین تعداد آلل‌های واقعی و مؤثر به ترتیب



شکل ۱: سنجش ژنتیکی جفت جمعیت‌های ماهی آزاد در ریای خزر



بحث

بهویژه به حداقل رسیدن مولدینی که برای تخم ریزی به رو دخانه ها مهاجرت می کنند، آمیزش های خوبشاوندی و ... باشد که موجب محدود شدن جریان ژنی و کاهش تنوع آللی شده است.

Jamshidi و Kalbassi (۲۰۱۱) با بررسی ارتباط بین شکل های مهاجر بهاره و پاییزه ماهی آزاد دریای خزر با استفاده از روش RAPD، متوسط تعداد آلل مشاهده شده را $10/12$ به دست آوردند که از مقدار یاد شده برای ماهیان رودکوچ کمتر محاسبه شد.

ุมول ترین معیار تنوع ژنی در یک جمعیت تعیین میزین هتروزوایگو سیتی است (۱۲). در این مطالعه بالا بودن مقدار هتروزوایگو سیتی مشاهده شده رودخانه کرگان رود بیانگر بالا بودن اندازه جمعیت مؤثر آن نسبت به رودخانه چشم کیله است. میانگین تنوع ژنتیکی مشاهده شده در این مطالعه کمتر از مقدار اعلام شده توسط Avise و Dewoody (۲۰۰۰) برای ماهیان رودکوچ ($0/68$) بود و پایین بودن آن را می توان به عوامل مختلفی چون صید بی روحیه، از بین رفتن مکان های طبیعی تخم ریزی، تکثیر مصنوعی ... نسبت داد. Sourinejad و همکاران (۲۰۱۱) با بررسی انتساب نسب فرزندان مولدین ماده و نر ماهی آزاد دریای خزر موجود در مرکز کلاردشت از جمعیت رودخانه تنگابن با استفاده از روش ریزماهواره، متوسط هتروزوایگو سیتی مشاهده شده در والدین و فرزندان را به ترتیب $19/19$ ، $19/20$ و $19/21$ محسوب نمودند که بیشتر از مقدار یاد شده برای ماهیان رودکوچ می باشد.

شخص شانون معیار مناسبی برای ارزیابی چندشکلی و میزان تغییر پذیری جایگاه های مورد مطالعه در سطح جمعیت می باشد. بالا بودن مقدار شخص شانون رودخانه کرگان رود در این مطالعه بیانگر تنوع بالاتر این رودخانه می باشد. یوسفیان و همکاران (۱۳۸۹) با بررسی ژنتیکی مولدین نر، ماده و بچه ماهیان آزاد دریای خزر حاصل از به گزینی مرکز کلاردشت با استفاده از روش ریزماهواره، بیشترین تعداد آلل احتصاصی (۱۲) را در جایگاه ۱۰۰ Otsg و محدوده باندی $112-260$ و کمترین تعداد آن (۸) رادر جایگاه Otsg ۴۷۴ و محدوده باندی $140-172$ مشاهده نمودند.

F_{ST} روش برآورد مرسوم تمايز ژنتیکی در مطالعات ژنتیکی است که به طور مستقیم یا غیر مستقیم با میزان جریان ژنی (N_M) یا تعداد مهاجرت مؤثر میان جمعیت ها ارتباط دارد (۲۷). میزان F_{ST} در این مطالعه بزرگ تر از $0/25$ به دست آمد که براساس نظریه Dorak (۲۰۰۵) بیانگر تمايز ژنتیکی خیلی زیاد جمعیت های مورد مطالعه و جدایی کامل آن ها از یکدیگر می باشد. Vera و همکاران (۲۰۱۱) با مطالعه ساختار ژنتیکی مولدین و

تنوع ژنتیکی یکی از سه سطح تنوع زیستی پیشنهاد شده توسط اتحادیه بین المللی حفاظت از گونه ها و طبیعت برای برنامه های حفاظت از ذخایر است (۲۳) و ریزماهواره ها شاخص حساسی در اندازه گیری هموزاگو سیتی در جفت گیری های هم خون هستند بنابراین برای تشخیص تمایز کم بین جمعیت ها مناسب می باشند (۵). حالت چندشکلی در زنوم هسته موجودات به عنوان شاخص ژنتیکی ارزشمند برای ارزیابی تنوع ژنتیکی و ساختار جمعیتی به منظور حفاظت از ذخایر ژنی گونه ها محسوب می شود (۳۴) و در این مطالعه نیز در پنج جایگاه حالت چندشکلی مشاهده شد. در این راستا می توان به مطالعات Dionne و همکاران (۲۰۰۸) که از ۱۳ جفت نشانگر ریزماهواره چندشکلی برای بررسی تنوع ژنتیکی ماهی آزاد اقیانوس اطلس بهره بردن اشاره نمود.

فراوانی آللی ساده ترین راه بررسی تنوع ژنی جوامع زیستی بوده و جهت بیان و آشکار سازی روابط تکاملی جمعیت های نزدیک به هم ابزار مناسبی است (۳۳) و بالا بودن ارتباطات ژنتیکی (۱۶) و تبادلات ژنتیکی سبب کاهش (۱۷) و در مقابل پویایی ژنتیکی سبب افزایش تعداد آلل های احتصاصی می شود (۱۵). بنابراین بالا بودن تعداد آلل های احتصاصی رودخانه کرگان رود بیانگر پویایی ژنتیکی جمعیت آن می باشد. یوسفیان و همکاران (۱۳۸۹) با بررسی ژنتیکی مولدین نر، ماده و بچه ماهیان آزاد دریای خزر حاصل از به گزینی مرکز کلاردشت با استفاده از روش ریزماهواره، بیشترین تعداد آلل احتصاصی (۱۲) را در جایگاه ۱۰۰ Otsg و محدوده باندی $112-260$ و کمترین تعداد آن (۸) رادر جایگاه Otsg ۴۷۴ و محدوده باندی $140-172$ مشاهده نمودند.

در مطالعات تنوع ژنتیکی، غنای آللی نسبت به هتروزوایگو سیتی دارای ارزش بالاتری است زیرا بالا بودن آن بیانگر بالا بودن اندازه جمعیت مؤثر بوده و استفاده از آن برای ارزیابی تنوع ژنتیکی جمعیت هایی که برای برنامه های به گزینی یا حفاظت انتخاب شده اند، مناسب تر است (۱۰). بالا بودن تعداد آلل های واقعی و مؤثر رودخانه کرگان رود بیانگر بالا بودن اندازه جمعیت مؤثر آن است و میانگین تعداد آلل مشاهده شده در این مطالعه کمتر از مقدار اعلام شده توسط Dewoody و Avise (۲۰۰۰) برای ماهیان رودکوچ ($11/3$) بود که می تواند ناشی از عوامل مختلفی چون تفاوت درجه حرارت، شوری، مواد مغذی و جریانات دریایی بین زیستگاه های مختلف دریای خزر، کاهش شدید جمعیت

بالا بودن سلامت افراد آن‌ها می‌باشد (۱۹). Vera (۲۰۱۱) با مطالعه ساختار ژنتیکی مولدین و بچه‌ماهیان آزاد دریای خزر ایران جمع‌آوری شده از چهار رودخانه با استفاده از روش ریزماهواره، اعلام کردند که براساس نتایج حاصل از آنالیز واریانس مولکولی میزان تنوع ژنتیکی درون جمعیت‌ها $\% ۹۱/۱۱$ ($P < 0.001$), بین جمعیت‌ها $\% ۷/۲۰$ ($P = 0.066$) و بین جمعیت‌های داخل گروه $\% ۱/۶۹$ ($P < 0.001$) می‌باشد.

به‌طورکلی نتایج نشان داد که دو گروه ژنتیکی متفاوت از ماهی آزاد دریای خزر در رودخانه‌های مورد مطالعه وجود دارد و علی‌رغم فشار صید و کاهش شدید ذخایر، این ماهی توانسته تنوع ژنتیکی خود را به میزان قابل توجهی حفظ نماید که بایستی در برنامه‌های بازسازی ذخایر سازمان شیلات ایران مد نظر قرار گیرد. هم‌چنین نتایج نشان دهنده توانایی بالای روش ریزماهواره در مطالعه تنوع ژنتیکی ماهی آزاد دریای خزر در رودخانه‌های مورد مطالعه است.

تشکر و قدردانی

بدین وسیله از مؤسسه تحقیقات علوم شیلاتی کشور، مرکز تحقیقات ماهیان سرآبی کشور- تنکابن، مرکز تکثیر و پرورش آزاد ماهیان شهید دکتر باهنر- کلاردشت، پژوهشکده اکولوژی آذربایجان دریای خزر- ساری و تمام کسانی که در مراحل مختلف انجام این مطالعه همکاری داشته‌اند تشکر و قدردانی می‌گردد.

منابع

۱. بهرامیان، ب.، ۱۳۷۴. گزارش عملکرد و تولید مرکز تکثیر و پرورش آزاد ماهیان شهید دکتر باهنر کلاردشت. ۱۳۷۴-۷۵ صفحه. سازمان شیلات ایران. ۱۹ صفحه.
۲. رفیعی، ا.، ۱۳۸۵. بررسی تنوع ژنتیکی ماهی آزاد دریای خزر (*Salmo trutta caspius*). پایان‌نامه کارشناسی ارشد بیولوژی دریا. دانشکده علوم پایه دانشگاه گیلان. ۵۸ صفحه.
۳. نوبدی مقدم فومنی، ر.، ۱۳۸۴. بررسی تنوع ژنتیکی ماهی آزاد دریای خزر جمعیت منطقه تنکابن با استفاده از نشانگرهای ریزماهواره (*Microsatellite markers*). پایان‌نامه کارشناسی ارشد بیولوژی دریا. دانشکده علوم پایه دانشگاه گیلان. ۱۱۲ صفحه.
4. Adams, B.K. and Hutchings, A., 2003. Micro geographic population structure of

بجه‌ماهیان آزاد دریای خزر ایران جمع‌آوری شده از چهار رودخانه با استفاده از روش ریزماهواره، میزان تمایز ژنتیکی را ($0/05$) بدست آوردند که بیانگر تمایز ژنتیکی پایین جمعیت‌های مطالعه شده می‌باشد.

جریان ژنی یکی از مهم‌ترین معیارها در تکوین ساختار جمعیتی گونه‌های مورد مطالعه است به‌طوری‌که اگر جریان ژنی بین جمعیت‌ها زیاد باشد بیانگر تکامل گروهی آن‌ها بوده و در صورتی‌که کم باشد نشانگر این است که هر یک از جمعیت‌ها تقريباً به‌طور مستقل از يكديگر تکامل یافته‌اند (۳۱). میزان جریان ژنی در این مطالعه کوچک‌تر از یک بدست آمد بنابراین براساس نظریه Li و همکاران (۲۰۰۷) عامل اصلی ایجاد تمایز ژنتیکی در جمعیت‌های مورد مطالعه، رانش ژنتیکی بوده است و تفاوت‌های بالای ژنتیکی بین جمعیت‌ها زمانی رخ می‌دهد که میزان جریان ژنی کم‌تر از یک باشد (۳۶).

قانون هاردی-واینبرگ رابطه پیش‌بینی‌های ژنتیکی اختلاف را بر حسب فراوانی‌های آللی خزانه ژن والدینی بیان می‌کند. وجود جمعیت‌بزرگ با آمیزش اتفاقی، عدم انتخاب، عدم مهاجرت، فقدان فشار جهش و میوز معمولی در برقراری حالت تعادل مؤثر می‌باشدند (۱۴). مشاهده انحراف از تعادل هاردی-واینبرگ در این مطالعه می‌تواند به‌علت حضور آلل‌های نول، وجود آمیزش‌های خوبی‌شاندنی، جفت‌گیری‌های غیرتصادفی و مخلوط شدن باشد. Beacham و همکاران (۲۰۰۴) با بررسی ریزماهواره‌ای Sokeye salmon، انحراف از تعادل هاردی-واینبرگ را در بعضی جایگاه‌ها برای بعضی جمعیت‌ها مشاهده نمودند ($P < 0.05$).

ماتریس شباهت و فاصله ژنتیکی برای توصیف تمایز ژنتیکی ساختارهای جمعیتی مورد استفاده قرار می‌گیرد. براساس نظریه Thorpe و همکاران (۱۹۹۴) میزان فاصله ژنتیکی به‌دست آمده در این مطالعه در محدوده جنس‌های هم خانواده ($0/۰۵-۱/۲۱$) قرار می‌گیرد که خود دلیلی بر انشقاق ژنتیکی جمعیت‌های مورد مطالعه می‌باشد. Jamshidi و Kalbassi (۲۰۱۱) با بررسی ارتباط بین شکل‌های مهاجر بهاره و پاییزه ماهی آزاد دریای خزر با استفاده از روش RAPD میزان شباهت و فاصله ژنتیکی را به ترتیب $0/۹۸$ و $0/۰۱$ به‌دست آوردند.

آنالیز واریانس مولکولی آزمون مناسبی برای مشخص کردن ساختار جمعیت و میزان تمایز ژنتیکی بین جمعیت‌ها است (۱۳) و نتایج حاصل از آن نشان داد که بیش‌ترین میزان تنوع ژنتیکی درون جمعیت هر رودخانه وجود دارد که بیانگر توانایی بالای جمعیت‌های مورد مطالعه در پاسخ به انتخاب طبیعی و



- Development and application of microsatellite markers for *Scomberomorus commerson* (Perciformes of Teleostei) to a population genetic study Arabian Peninsula stocks. *Fisheries Research.* Vol. 79, pp: 258-266.
17. **Hoolihan, J.P.; Anandh, P.J. and Herwerden, L.V., 2006.** Mitochondrial analysis of narrow-barred Spanish mackerel (*Scomberomorus commerson*) suggests a single genetic stock in the ROPME sea area. *ICES Journal of Marine Science.* Vol. 63, pp: 1066-1074.
18. **Jamshidi, S.H. and Kalbasi, M.R., 2011.** Conspecific relation between two seasonal migratory forms of endangered Caspian trout, *Salmo trutta caspius* Kessler, 1877, revealed by RAPD markers. *Iranian Journal of Fisheries Science.* Vol. 10, No. 3, pp: 437-446.
19. **Jug, T.; Berrebi, P. and Snoj, A., 2005.** Distribution of non-native trout in Slovenia and their introgression with native trout population as observed through microsatellite DNA analysis. *Biological Conservation.* Vol. 123, pp: 381-388.
20. **Kalinowski, S.T., 2005.** Polymorphic loci require large sample size or estimate genetic distance. *Heredity.* Vol. 94, pp: 33-36.
21. **Kiabi, B.H.; Abdoli, A. and Naderi, M., 1999.** Status of fish fauna in south Caspian basin of Iran, *Zoology in the Middle East.* Vol. 16, pp: 57-65.
22. **Li, D.; Kang, D.; Yin, Q.; Sun, Z. and Liang, L., 2007.** Microsatellite DNA marker analysis of genetic diversity in wild common carp (*Cyprinus carpio* L.) populations. *Genetics and Genomics.* Vol. 34, pp: 984-993.
23. **Lucentini, L.; Palomba, A.; Lancioni, H.; Gigliarelli, L.; Natali, M. and Panara, F., 2006.** Microsatellite Polymorphism in Italian population of northern pike (*Esox Lucius* L.). *Fisheries Research.* Vol. 80, pp: 251-262.
24. **Mc Quown, E.C.; Sloss, B.L.; Sheehan, R.J.; Rodzen, J.; Tranah, G. and May, B., 2000.** Microsatellite and analysis of genetic variation in sturgeon: new sturgeon primer sequences for scaphirhynchus and Acipenser. *Tran's actions of the American fisheries society.* Vol. 139, pp: 1380-1388.
25. **Peakall, R. and Smouse, P.E., 2005.** Gene Alex 6. 41: genetic analysis in Excel. Population genetic software for teaching and research. *Bioinformatics.* Vol. 28, No. 19, pp: 2537-2539.
26. **Reisenbichler, R.R. and Rubin, S.P., 1999.** Genetic changes from artificial propagation of Pacific salmon affect the productivity and Brook charr: a comparison of microsatellite and mark-recapture data. *Journal of Fish Biology.* Vol. 62, pp: 517-533.
5. **Alarcon, J.A.; Magoulas, A. and Alvarez, M.C., 2004.** Genetic comparison of wild and cultivated European population of the Gill head sea bream. *Aquaculture.* Vol. 230, pp: 65-80.
6. **Bassam, B.J.; Caetano- Anolles, G. and Gresshoff, G.M., 1991.** Fast and sensitive silver staining of DNA in polyacrylamide gels. *Annual Biochemistry.* Vol. 84, pp: 680-683.
7. **Beacham, T.D.; McIntosh, B. and Macconnachie, C., 2004.** Microsatellite identification of individual sockeye salmon in Barkley Sound, British Columbia. *Journal of Fish Biology.* Vol. 61, pp: 1021-1032.
8. **Coad, B.W., 1980.** Environmental change and its impact on the freshwater fishes of Iran. *Biological Conservation.* Vol. 19, No. 1, pp: 51-80.
9. **Dewoody, J.A. and Avise, J.C., 2000.** Microsatellite variation in marine, freshwater and anadromous fishes compared with other animals. *Journal of Fish Biology.* Vol. 56, pp: 461-473.
10. **Diz, P.A. and Persa, P., 2009.** The genetic diversity pattern of *Mytilus alloprovincialis* in Galician Rias (NW Iberian estuaries). *Aquaculture.* Vol. 287, pp: 278-285.
11. **Dorak, T., 2005.** Basic population genetics. WWW. Dorak. Info/ genetics/popgen. Html.
12. **Fei, C.; Wei, Y. and Fu-Ling, Y., 2007.** Isolation of DNA microsatellites and preliminary genomic analysis of Mud crab (*Cirrohina molterolla*). *Zoological research.* Vol. 28, No. 2, pp: 119-125.
13. **Grassi, F.; Imazio, S.; Gomarasca, S.; Citterio, S.; Aina, R.; Sgorbati, S.; Skaala, F.; Patrignani, G. and Labra, M., 2004.** Populationstructure and genetic variation within *Valeriana wallrothii* Kreyer in relation to different ecological locations. *Plant Science.* Vol. 166, pp: 1437-1441.
14. **Hallerman, E.M., 2003.** Population genetics: principles and applications for fisheries scientists. Bethesda, Maryland, American Fisheries Society. pp: 239-259.
15. **Hassanien, H.A.; Einady, M.; Obeida, A. and Ittriby, H., 2004.** Genetic diversity of Nile tilapia populations revealed by randomly amplified polymorphic DNA (RAPD). *Aquaculture Research.* Vol. 35, pp: 597-593.
16. **Herwerden, L.V.; Mc Llwain, J.; Al-Quf, H.; Al-Amry, W. and Reyes, A., 2006.**

- Martinez, O., 2011.** Phylogeography, genetic structure, and conservation of the endangered Caspian brown trout, *Salmo trutta caspius* (Kessler, 1877), from Iran. *Hydrobiologia*. pp: 664: 51–67.
- 39. Yeh, F.C.; Yang, R.C. and Boyle, T., 1999.** PopGene. Version. 1.31, Microsoft, Window based Freeware for Population Genetic Analysis. Quick User Guide University of Alberta and the Centre for International Forestry Research, Canada. 29 p.
- viability of supplemented populations. *ICES Journal of Marin Sciences*. Vol. 56, pp: 459-466.
- 27. Rousset, F., 2004.** Genetic structure and selection in subdivided populations Princeton: Princeton University Press. 288 p.
- 28. Ryman, N., 1991.** Conservation genetics considerations in fishery management. *Journal of Fish Biology*. Vol. 39 (Supplement A), pp: 211-224.
- 29. Sambrook, J. and Russell, D.W., 2006.** The condensed protocols from Molecular cloning. Cold Spring Harbor laboratory press, pp: 705-762.
- 30. Sivasundar, A. and Biemann, C.H., 2005.** Genetic evidence of postglacial population expansion in Puget Sound rock fish (*Sebaste emphaeus*). *Marine Biotechnology*. Vol. 7, pp: 223-230.
- 31. Slatkin, M., 1993.** Isolation by distance in equilibrium and non- equilibrium population. *Evolution*. Vol. 47, pp: 264-279.
- 32. Sourinejad,I.; Kalbassi,M.R.; Pino-Querido, A.; Vera, M.; Bouza, C. and Martinez, P., 2011.** Parentage assignment of progeny in mixed milt fertilization of Caspian brown trout *Salmo trutta caspius* using microsatellite DNA markers: Implications for conservation. *African Journal of Biotechnology*. Vol. 10, No. 26, pp: 5084-5090.
- 33. Takezaki, N. and Nei, M., 1996.** Genetic distances and reconstruction of phylogenetic trees from microsatellite DNA. *Genetics*. Vol. 144, pp: 389-399.
- 34. Thai, B.T.; Pham, T.A. and Austin, G.M., 2006.** Genetic diversity of common carp in Vietnam using direct sequencing and SSCP analysis of the mitochondrial DNA control region. *Aquaculture*. Vol. 258, pp: 228-240.
- 35. Thorpe, J.P. and Sol-Cave, A.M., 1994.** The use of allozyme electrophoresis in vertebrate systematics. *Zoologica Scripta*. Vol. 23, pp: 8-18.
- 36. Tremblay, R.L. and Ackerman, J.D., 2001.** Gene flow and effective population size in Leopanthes (Orchidaceas): a case for genetic drift. *Biological Journal of the Linnean Society*. Vol. 72, pp: 47-62.
- 37. Tsoi, K.H.; Wang, Z.Y. and Chu, K.H., 2005.** Genetic divergence between two morphological similar varieties of the kurma shrimp *Penaeus japonicas*. *Marine Biology*. Vol. 147, pp: 367-379.
- 38. Vera, M.; Sourinejad, I.; Bouza, C.; Vilas, R.; Pino-Querido, A.; Kalbassi, M.R. and**



Genetic diversity of Caspian brown trout (*Salmo trutta caspius* Kessler, 1877) in the Cheshmeh Kileh and Kargan Rud Rivers using microsatellite markers

- **Saltanat Najjar Lashgari***: Department of Fisheries, Science and Research Branch, Islamic Azad University, P.O.Box: 775-14515, Tehran, Iran
- **Sohrab Rezvani Gilkolaei**: Iranian Fisheries Research Organization (IFRO), P.O.Box: 14155-6116, Tehran, Iran
- **Abolghasem Kamali**: Department of Fisheries, Science and Research Branch, Islamic Azad University, P.O.Box: 775-14515, Tehran, Iran
- **Mahdi Soltani**: Department of Fisheries, Science and Research Branch, Islamic Azad University, P.O.Box: 775-14515, Tehran, Iran

Received: July 2013

Accepted: August 2013

Key words: *Salmo trutta caspius*, Genetic diversity, Microsatellite

Abstract

Caspian brown trout (*Salmo trutta caspius*) is one of the nine subspecies of brown trout (*Salmo trutta*) in the world and is one of the economically important species and endangered in the Caspian Sea. In this study, the genetic diversity of the Caspian brown trout was investigated using microsatellite method. For this purpose, 225 specimens of adult Caspian brown trout were collected from Cheshmeh Kileh and Kargan Rud rivers and genomic DNA was extracted using Ammonium Acetate method. The quality and quantity of the extracted DNA was assessed using a horizontal electrophoresis in 1% agarose gel and spectrophotometry methods. The Polymerase Chain Reaction (PCR) was performed using 16 pairs SSR primers and the amplified products were vertical electrophoresis using 6% polyacrylamide gel and were stained using silver nitrate method. DNA bands were scored using Photo- Capt software and produced five polymorphic loci. The mean observed and expected heterozygosity was calculated 0.47 ± 0.09 and 0.61 ± 0.10 respectively and more loci were out of Hardy- Weinberg equilibrium ($P < 0.001$). Analysis of molecular variance (AMOVA) showed significant differences in genetic diversity between and within populations ($P < 0.01$). So there is more than one population in studied rivers that should be considered in restructuring reserves.



* Corresponding Author's email: se_lashgari@yahoo.com